

Dr.med. Paul-Gerhard Valeske
Gottlob-Schüßel-Weg 1
D-87439 Kempten

Expertise

voor
Günter Gasser
Hauptstrasse 25
A-6973 Höchst

Onderwerp:

Onderzoek naar de compenserende werking van de SP1 tegen het effect van elektromagnetische velden op de mens.

De voorliggende studie werd uitgevoerd om de compenserende werking van het SP1-apparaat tegen elektromagnetische velden aan te tonen.

Onderzoek naar de compenserende werking van de SP1 tegen het effect van elektromagnetische velden op de mens.

De voorliggende studie werd uitgevoerd om de compenserende werking van het SP1-apparaat tegen elektromagnetische velden aan te tonen.

- 1. Fysische en biofysische grondslagen**
- 2. Opzet van het onderzoek**
- 3. Resultaten**
- 4. Samenvatting en conclusie**

Grafiek en statistiek

Alle rechten voorbehouden. Kopiëren, verveelvoudigen of andere manieren van verspreiding met elektronische media, gegevensdragers, gegevensnetwerken en in de vorm van seminars is alleen toegestaan na uitdrukkelijke toestemming van de firma Gasser.

- 1. Biofysische grondslagen**
- 2. Opzet van het onderzoek**
- 3. Resultaten**
- 4. Samenvatting en conclusie**

1. Fysische en biofysische grondslagen

In de laatste drie decennia is het aantal zenders met elektromagnetische golven (radio, televisie, installaties en masten voor mobiele telefonie) enorm uitgebreid. Tegelijkertijd hebben zich bepaalde ziektebeelden ontwikkeld, zoals allergieën (neurodermitis, astma). Dat wekt op zijn minst het vermoeden dat de elektromagnetische golven naast andere milieufactoren aan de sterke toename van deze ziektes hebben bijgedragen en dit vermoeden wordt door een groot aantal studies uit de gehele wereld onderbouwd.

Omdat biologische systemen - zij het langzaam en meestal pas na een reeks van jaren – alleen op zulke omgevingsfactoren reageren als het zogeheten biologische venster (Adey-venster dat ontstaat uit de verhouding tussen amplitude en frequentie) geprikkeld wordt, kunnen biochemische en cellulaire veranderingen slechts moeilijk worden aangetoond. In vooronderzoeken werd daarom gezocht naar een meetmethode waarmee het effect van elektromagnetische golven in een omgeving met zendstralen op de mens direct kan worden aangetoond. Dat is inderdaad mogelijk met een methode waarmee kortstondige reacties in het energetische systeem kunnen worden afgelezen. Bij mensen kan men daarvoor gebruik maken van de acupunctuurmeridianen.

De energiestroom langs de meridianen en zijn betekenis als aansturing van het organisme is sinds duizenden jaren empirisch bekend uit de Chinese geneeskunde. De Duitse arts Voll bewees als eerste dat er bij de bekende acupunctuurpunten sprake is van elektrische verschijnselen. Vergeleken bij de omgeving is de elektrische huidweerstand op deze punten lager. Bij bepaalde ziekten kunnen op de punten die met het betreffende orgaan in verbinding staan verlaagde (hypoergische, anergische, degeneratieve) of verhoogde (hyperergische, ontstekingsgevoelige) waarden worden gemeten. Een instabiele toestand van de betreffende meridiaan wordt *Zeigerabfall* genoemd. Deze toestand wordt veroorzaakt door een afname van het geleidend vermogen, d.w.z. dat de meetwaarde niet constant blijft, maar tijdens de meting daalt. Dit betekent dat de weerstand hoger wordt. Een dergelijke toestand wordt als bijzonder pathogeen (ziekteverwekkend) beschouwd. Nog meer bewijzen voor de communicatie tussen de cellen met behulp van biofotonen (elektromagnetische golven) en hun effect door energetische, elektromagnetische inwerking konden door de Duitse onderzoeker Prof. F.A. Popp van de universiteit Kaiserslautern worden geleverd.

Het energiesysteem van de mens reageert ogenblikkelijk op biofysische prikkels als deze binnen het biologische venster liggen (Prof. C.W. Smith, Salford University, Engeland). Bij het voorliggende onderzoek werd van deze eigenschap gebruik gemaakt om via de energetische reactie van het organisme op elektromagnetische golven meer inzicht te verwerven. Het lichaam kan zijn innerlijke evenwicht bij een kortstondige inwerking stabiel houden. Als een biofysische prikkel maar lang genoeg inwerkt, ontstaan er organische of functionele veranderingen op cellulair niveau. Bij een pathologische prikkel ontwikkelt zich een ziekte. Deze pathogeniteit kan aan de hand van de geconstateerde acupunctuurwaarden worden vastgesteld, d.w.z. dat het gemeten punt een waarde te zien moet geven die van de normwaarde afwijkt; apathogene (onschadelijke) of positieve prikkels zorgen voor een normalisering van de waarden. Zoals al werd aangegeven, wijst een *Zeigerabfall* op een bijzonder pathogene toestand beschouwd.

De uitwerking van elektromagnetische golven en het effect van een compensatieapparaat kunnen alleen direct op het menselijk lichaam worden gemeten. De aanwezigheid van een frequentie zegt op zichzelf nog niets over de invloed van het elektromagnetisme op biologische systemen.

2. Opzet van het onderzoek

a. Meetapparatuur en testpersonen

Uitgaande van bovenstaande inzichten werden bij de proefpersonen metingen met elektroacupunctuur volgens Voll uitgevoerd. Als meetapparaat werd het EAV-meetdeel van het BICOM-apparaat voor bioresonantietherapie van de firma REGUMED (Gräfelfing bij München) gebruikt. Dit instrument heeft een normaal EAV-standaardmeetdeel. De meetwaarde wordt weergegeven op een schaal van 0 (weerstand = oneindig) en 100 (weerstand = 0) waarbij de norm- en gemiddelde waarde bij 50 ligt. Dat komt overeen met een weerstand van 100 KOhm. Als meetpunten werden naast 8 oriëntatiewaarden de 40 meridiaanpunten op de vingers en tenen onderzocht. De meetwaarden werden in de BICOM opgeslagen en na afloop van de meting steeds afgedrukt.

De elektromagnetische straling kwam van een mobiele telefoon die normaal in de handel verkrijgbaar is. Om te controleren of het EAV-meetdeel correct functioneerde, werd een weerstand van 110 KOhm gemeten: op het display resulteerde dit in de waarde 45. Er was daarbij geen verschil tussen de normale meting en de meting met straling, zodat ervan kan worden uitgegaan dat de vastgestelde waarden niet door stralingsgeïnduceerde storingen van het meetapparaat worden vertekend, maar overeenkomen met de werkelijke reacties van het mediaansysteem.

De proefpersonen in de controlegroep en de testgroep (verumgroep) waren volwassenen van verschillende leeftijd waarvan de gezondheidstoestand voor de meting niet bekend was. De volgende meetreeksen werden uitgevoerd:

Controlegroep 1:

Vijf volwassenen, drie metingen zonder elektromagnetische straling en zonder SP1

Controlegroep 2:

Drie volwassenen, drie metingen: 1. beginmeting, 2. meting met blootstelling aan straling, 3. meting met straling maar zonder SP1.

Testgroep met verum:

Veertig volwassenen, drie metingen: 1. beginmeting, 2. meting met blootstelling aan straling, 3. meting met straling maar met SP1.

De volgende waarden werden gemeten:

Oriëntatiewaarden: geleidewaarde (GW), kwadrantenwaarden op de rechter en de linkerduim (QH re., QH li.) en op de grote teen links en rechts (QF re., QF li.) om de algemene energieverdeling in te schatten; op acupunctuurpunt 3V20 (drievoudige verw warmer-20=hypothalamus-hypophysenpunt, aan de bovenste inplanting van de oorschelp) om de toestand van het zenuwstelsel te bepalen.

Meridiaanpunten: Op de handen van de duim tot de pink steeds rechts en links worden de waarden gemeten voor de lymfe, long, dikke darm, zenuwstelsel, bloedsomloop/sexualiteit, allergie, orgaan degeneratie (stofwisseling), drievoudige verw warmer (3V), hart en dunne darm; op de voeten de meridianen milt/pancreas, lever, gewrichten, maag, bindweefsel, huid, vette degeneratie, galblaas, Nier en blaas.

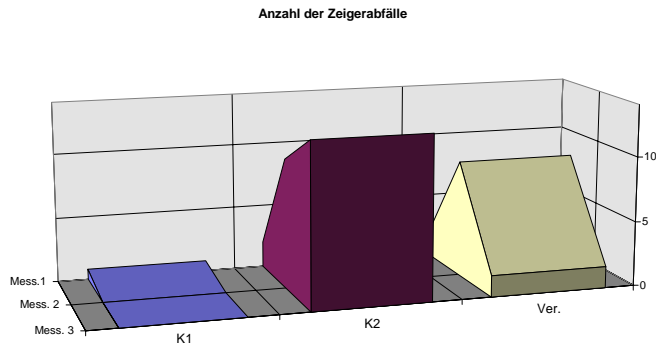


Fig. 1: Illustratie van het gemiddelde aantal *Zeigerabfälle* (instabiele meridianen) bij de drie groepen.

K1: controlegroep 1, geen straling, geen SP1; K2: controlegroep 2: meting 1 als beginmeting, meting 2 en meting 3 met straling zonder SP1; verumgroep: meting 1 als beginmeting, meting 2 met straling, meting 3 met straling en SP1.

b. Meetwaarden bij de meridiaanpunten

Er werd steeds het gemiddelde aantal van de verlaagde, de verhoogde en de normwaarden berekend. Figuur 2 laat duidelijk de verandering zien in het aantal normwaarden die bij elkaar opvolgende metingen zonder straling vrijwel gelijk blijven, tijdens de straling toenemen en na het inschakelen van de SP1 bijna naar het aantal van de beginmeting terugkeren.

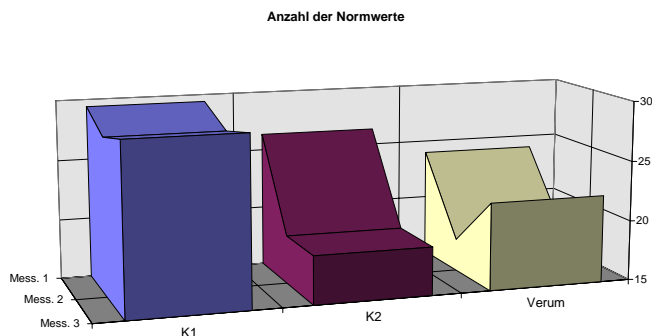


Fig. 2: Illustratie van het gemiddelde aantal normwaarden bij de drie groepen.

K1: controlegroep 1, geen straling, geen SP1; K2: controlegroep 2: meting 1 als beginmeting, meting 2 en meting 3 met straling zonder SP1; verumgroep: meting 1 als beginmeting, meting 2 met straling, meting 3 met straling en SP1.

Het gemiddelde totale aantal waardeveranderingen (verlagingen en verhogen) verhoudt zich bijna als een spiegelbeeld tegenover de normwaarden (Fig. 3). Terwijl bij de controlegroep 1 geen wezenlijke verandering optreedt, neemt het aantal veranderde waarden in de aan straling blootgestelde groep K2 sterk toe. Nadat de SP1 is ingeschakeld daalt het aantal veranderingen weer duidelijk.

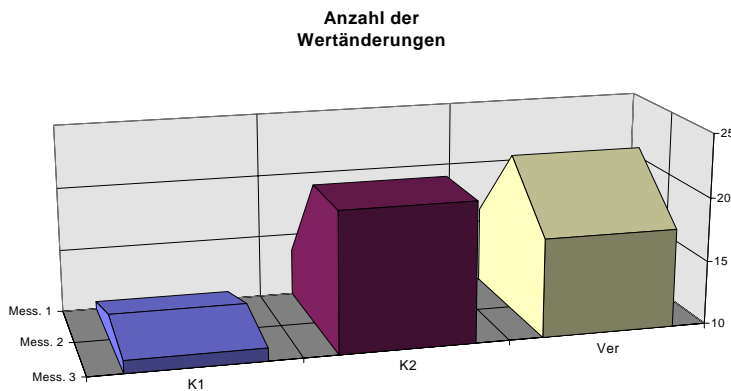


Fig. 3: Illustratie van het gemiddelde aantal waardeveranderingen bij de drie groepen.

K1: controlegroep 1, geen straling, geen SP1; K2: controlegroep 2: meting 1 als beginmeting, meting 2 en meting 3 met straling zonder SP1; verumgroep: meting 1 als beginmeting, meting 2 met straling, meting 3 met straling en SP1.

c. Statistische waarden

Ook werden de gemiddelde waarde, de standaarddeviatie (standaardafwijking) en de variantie voor alle 40 meridiaanpunten berekend.

De gemiddelde waarde van alle proefpersonen nivelleert de waarden als gevolg van de verschillen in de individuele begintoestand en de individuele reactie, maar in beginsel kan dezelfde tendens worden waargenomen als bij de *Zeigerabfälle* en de normwaarden, namelijk verandering in waarden en terugkeer naar vrijwel dezelfde waarden van de beginmeting nadat de SP1 is ingeschakeld. Hetzelfde geldt voor de standaarddeviatie en de variantie: tijdens de blootstelling aan de straling nemen deze waarden toe, d.w.z. dat de meetwaarden ten opzichte van de gemiddelde waarde een sterkere spreiding te zien geven. Onder de “paraplu” van de SP1 worden de standaarddeviatie en de variantie kleiner, en voor een deel kunnen er waarden worden vastgesteld die lager liggen dan bij de beginmeting, d.w.z. dat de meetwaarden minder gespreid zijn verdeeld.

4. Samenvatting en conclusie

In de voorliggende studie werden drie groepen proefpersonen onderzocht: controlegroep 1 om de normale spreiding bij de EAV-meting te bepalen, controlegroep 2 om de veranderingen te bepalen bij blootstelling aan radiografische velden en als derde de verumgroep om de compenserende werking van de SP1 te kunnen vaststellen.

De invloed van elektromagnetische velden op het meridiaanstelsel van de mens kon duidelijk worden aangetoond. Even sterk gedocumenteerd is het compenserende effect dat de SP1 op zulke storingen heeft. De door de straling veranderde waarden werden allemaal weer normaal.

Grafiek 1:

Illustratie van de procentuele verdeling van de meridiaanwaarden bij controlegroep 1
Opgenomen zijn alleen de waarden die buiten het normgebied (50-60) lagen.

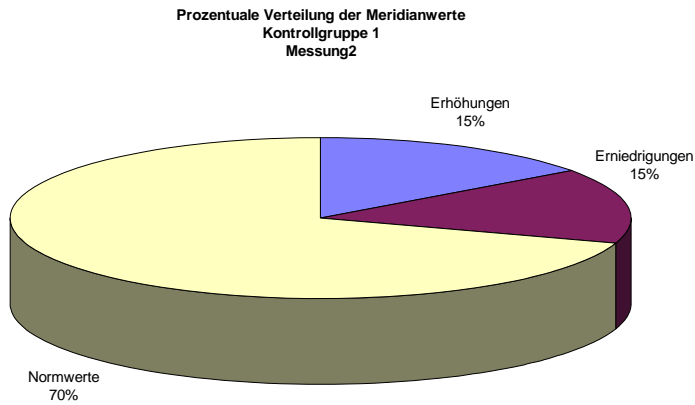
a.) Meting 1:

Geen straling

Verhoogde waarden 15%

Verlaagde waarden 15%

Normwaarden 70%

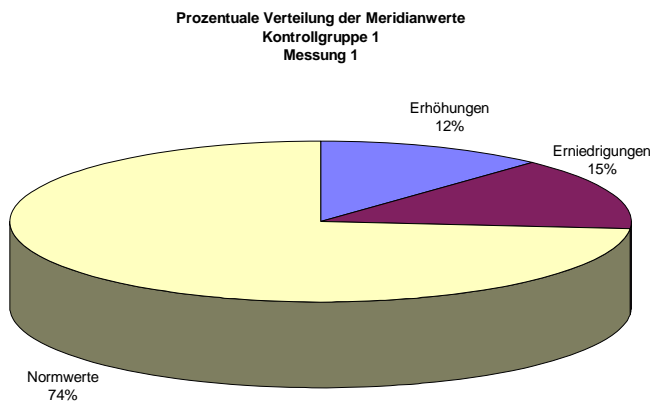


b.) Meting 2:

Geen straling

Verhoogde waarden 11,5 %

Normwaarden 74,0 %



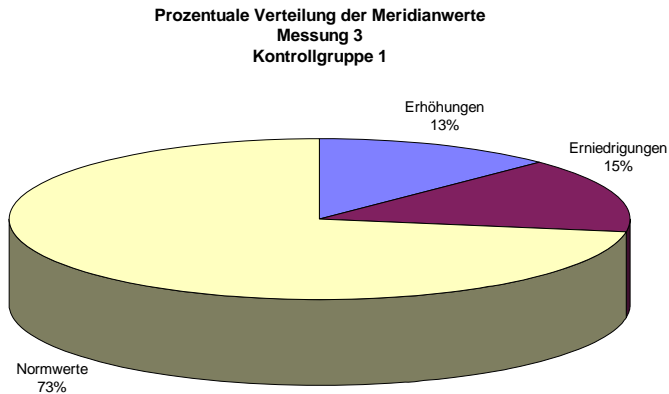
c.) Meting 3:

Geen straling

Verhoogde waarden 12,5 %

Verlaagde waarden 14,5 %

Normwaarden 73 %



Interpretatie: Bij meerdere op elkaar volgende metingen veranderen de meetwaarden slechts in geringe mate.

Grafiek 2:

Illustratie van de procentuele verdeling van de meridiaanwaarden bij controlegroep 2

Opgenomen zijn alleen de waarden die buiten het normgebied (50-60) lagen.

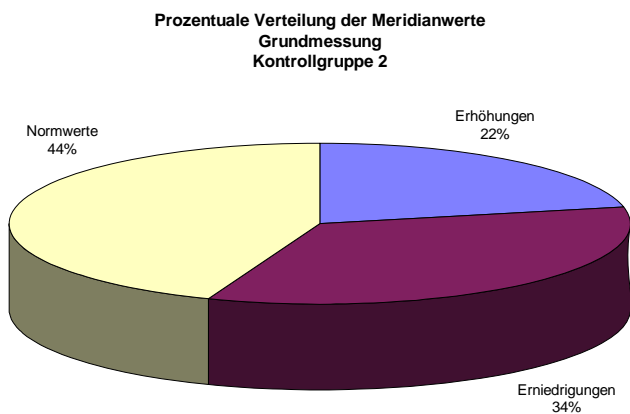
a.) Meting 1:

Geen straling

Verhoogde waarden 21,67 %

Verlaagde waarden 34,17 %

Normwaarden 44,17 %



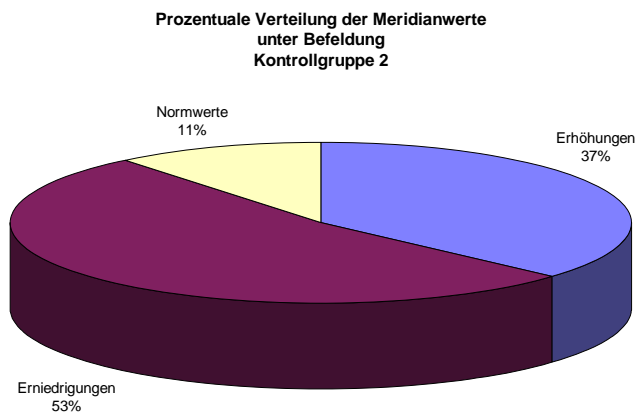
b.) Meting 2:

Straling

Verhoogde waarden 36,67 %

Verlaagde waarden 52,2 %

Normwaarden 10,83 %



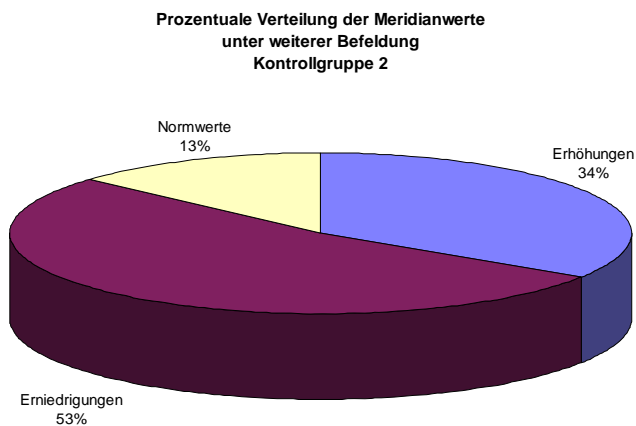
c.) Meting 3:

Voortgezette bestraling

Verhoogde waarden 34,17 %

Verlaagde waarden 52,5 %

Normwaarden 13,3 %



Interpretatie: Tijdens de blootstelling aan de straling verschuift de waardeverdeling in sterke mate: vooral de lagere waarden nemen sterk toe, het aantal normale waarden daalt naar ongeveer $\frac{1}{4}$. Tussen meting 2 en 3 bestaat geen wezenlijk verschil.

Grafiek 3:

Illustratie van de procentuele verdeling van de meridiaanwaarden bij de verumgroep
Opgenomen zijn alleen de waarden die buiten het normgebied (50-60) lagen.

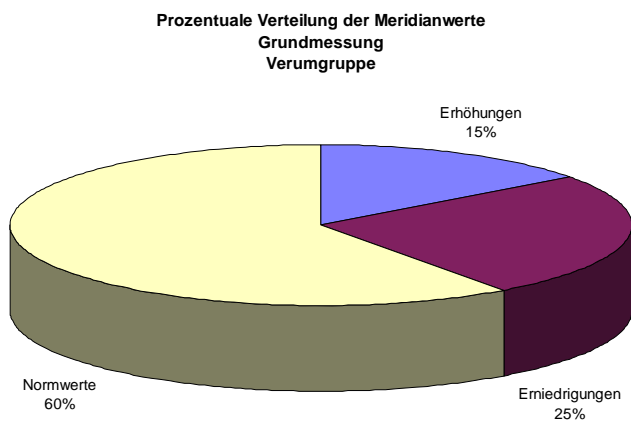
a.) Meting 1:

Geen straling

Verhoogde waarden 14,63 %

Verlaagde waarden 25,44 %

Normwaarden 59,94 %



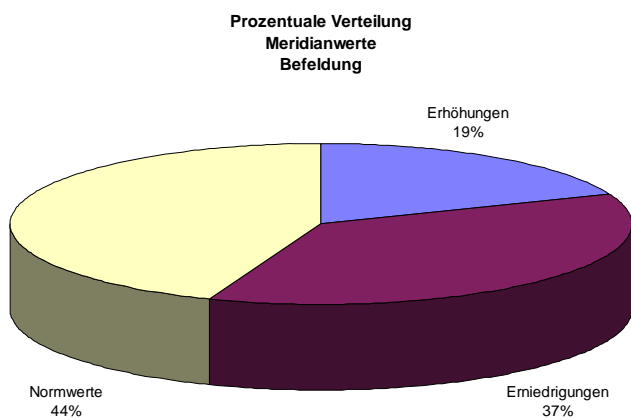
b.) Meting 2:

Straling

Verhoogde waarden 18,94 %

Verlaagde waarden 36,88 %

Normwaarden 44,19



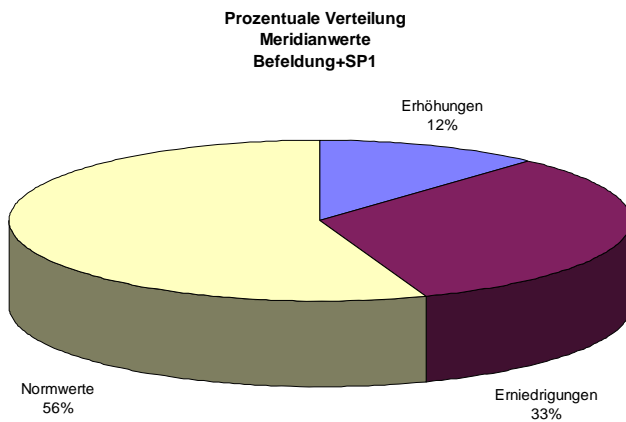
c.) Meting 3:

Voortgezette bestraling + SP1

Verhoogde waarden 11,75 %

Verlaagde waarden 32,56 %

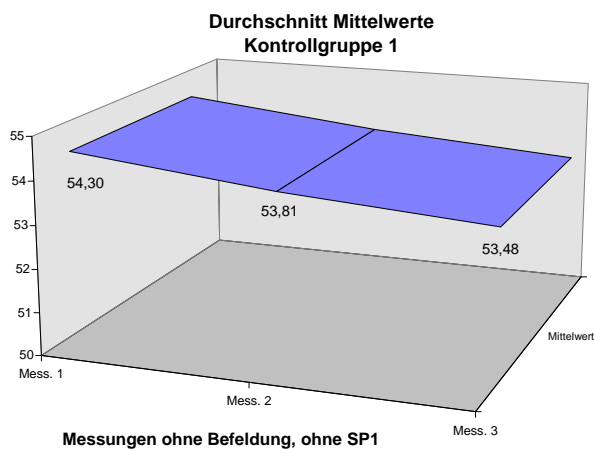
Normwaarden 55,69 %



Interpretatie: Net als bij controlegroep 2 is bij de blootstelling aan de bestraling een duidelijke toename van het aantal verhoogde en verlaagde waarden waarneembaar, maar na het inschakelen van de SP1 is ondanks een voortgezette bestraling sprake van een vermindering van het aantal waardeveranderingen.

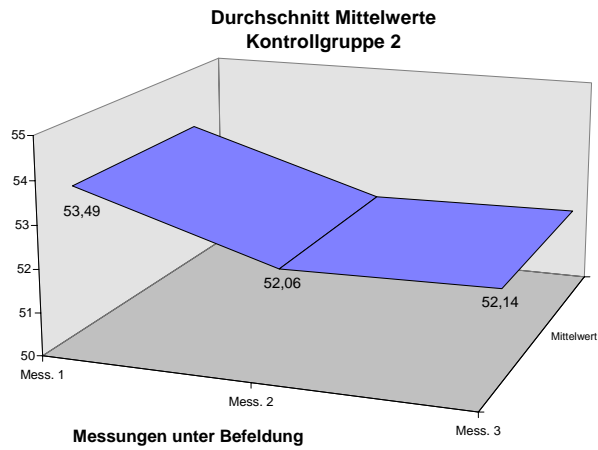
Grafiek 4:

De gemiddelde waarden van de drie meetreeksen tegenover elkaar geplaatst

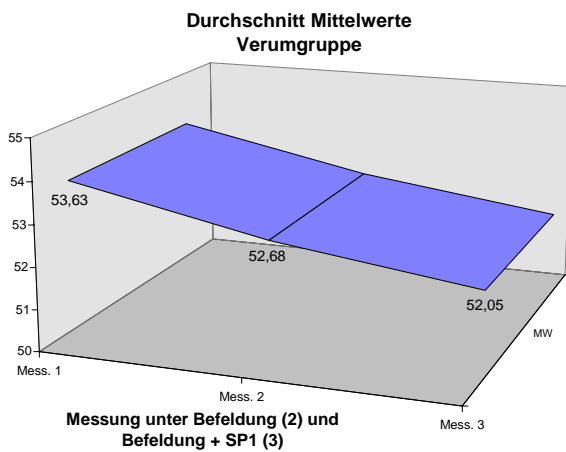


a.) controlegroep 1: de gemiddelde waarde wordt van meting tot meting in lichte mate lager.

- b.) controlegroep 2: vergeleken bij controlegroep 1 is sprake van een duidelijk grotere verlaging van de gemiddelde waarde tijdens een blootstelling aan straling



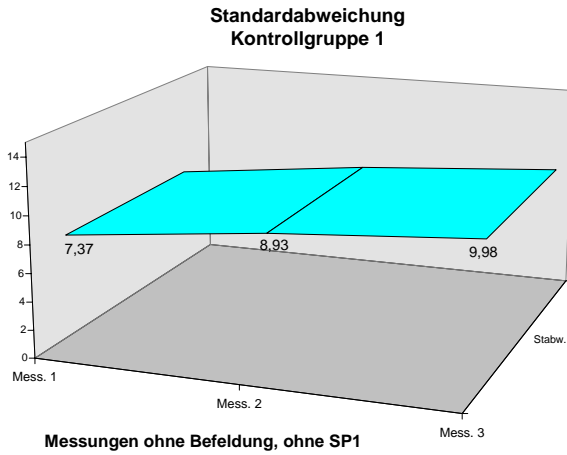
- c.) Testgroep met verum: de gemiddelde waarde van alle meridianen verandert nauwelijks ten opzichte van controlegroep 2



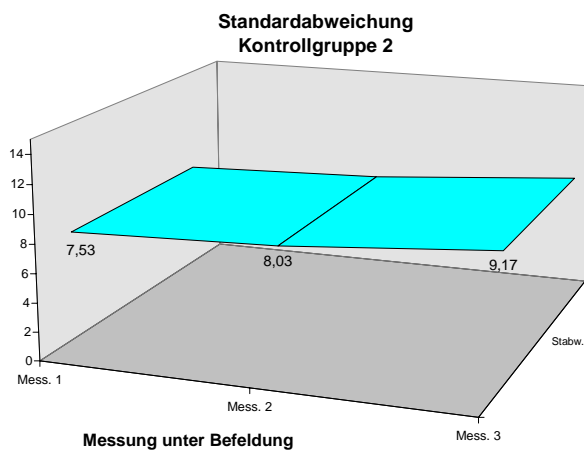
Interpretatie: Vanwege de relatief hoge spreiding van de afzonderlijke waarden (zie ook gegevensgedeelte) kan er geen uitspraak worden gedaan.

Grafiek 5:**De standaarddeviaties van de gemiddelde waarden tegenover elkaar geplaatst**

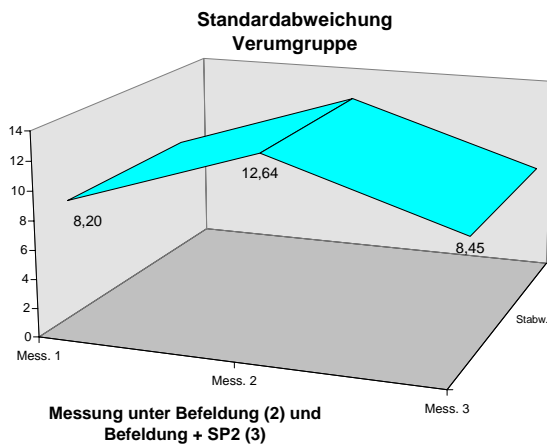
a.) Toename van de standaarddeviatie bij controlegroep 1 (zonder straling) met ca. 26 %



b.) a.) Toename van de standaarddeviatie bij controlegroep 2 (met straling) met ca. 17 %



c.) Toename van de standaarddeviatie bij de aan straling blootgestelde verumgroep met ca. 35 %, na inschakeling van de SP1 een daling van ca. 33 %, zodat in de vergelijking tussen meting 1 en meting 3 slechts een verandering van net 3 % waarneembaar is.

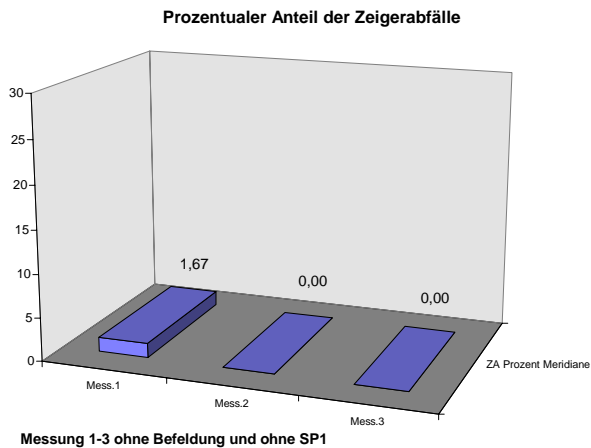


Interpretatie: De standaardafwijking in de verumgroep als maatstaf voor de breedte van de spreiding rond een gemiddelde waarde wordt na het inzetten van de SP1 duidelijk kleiner (bereikt de beginwaarde), hetgeen bij de drie metingen in de controlegroep niet kon worden waargenomen.

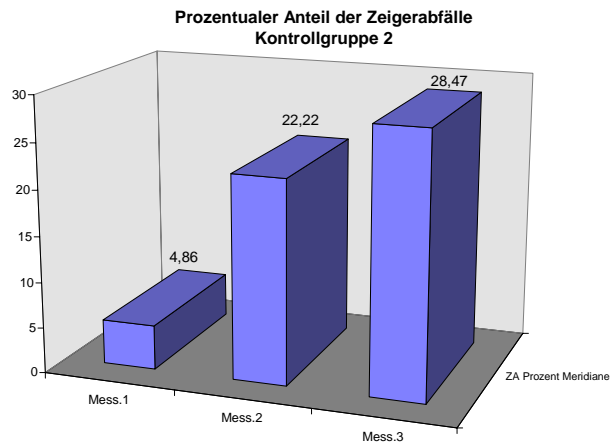
Grafiek 6:

Percentage van de *Zeigerabfälle* in relatie tot de meridianen

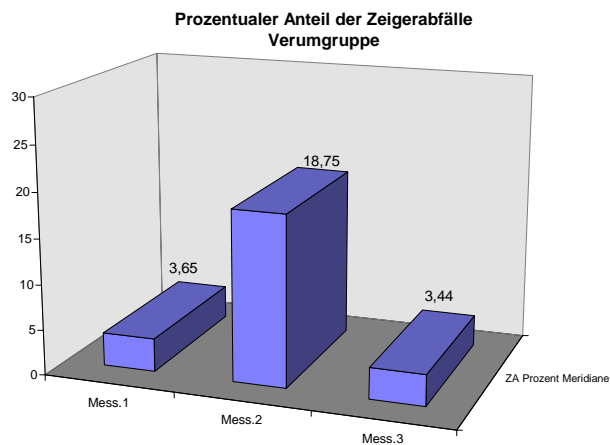
a.) controlegroep 1: bijna geen *Zeigerabfälle* bij alle drie meetreeksen.



b.) controlegroep 2: sterke toename van de *Zeigerabfälle* bij blootstelling aan straling.



c.) toename van de *Zeigerabfälle* bij blootstelling aan straling, afname na inschakelen van de SP1.



Interpretatie: Toename van de *Zeigerabfälle* tijdens de blootstelling aan de straling die bij een voortgezette bestraling verder toeneemt, maar na het inschakelen van de SP1 weer de beginwaarde bereikt.